

## ІНТЕНСИФІКАЦІЯ ЗАТУХАННЯ ШВИДКОСТІ ПОВІТРЯНОГО ПОТОКУ ВЗАЄМОДІЄЮ ЗУСТРІЧНИХ НЕСПІВВІСНИХ СТРУМИН

© Возняк О.Т., 2010

**Представлено результати дослідження взаємодії зустрічних неспіввісних струмин. Встановлено вплив взаємодії струмин на параметри результуючого повітряного потоку. Наведено розрахункові залежності, які дають можливість проектувати системи повітророзподілу із взаємодією зустрічних неспіввісних струмин.**

**In this article the results of opposed non-coaxial air jets junction investigations are presented. Influence of jets interaction on air distribution in a room has been determined. There are presented calculating equations that give a possibility to design air distribution system at air jets interaction.**

У вентиляційній техніці часто виникає потреба подачі значної кількості повітря у приміщеннях невеликого об'єму для забезпечення нормованої швидкості руху повітря в обслуговуваній зоні. Це можна досягнути шляхом використання повітророзподільних пристроїв з низьким коефіцієнтом згасання швидкості  $m$ . Такі повітророзподільвачі мають високу початкову турбулізацію повітряного потоку.

Належної турбулізації повітряного потоку можна досягнути по-іншому, наприклад, використовуючи взаємодію струмин, а саме – ефект їхнього співударяння під деяким кутом  $\alpha$ . Цей фактор доцільно застосовувати під час проектування повітророзподілу зосередженою подачею повітря з розміщенням припливних вентиляційних пристроїв поза зоною дії витяжних отворів.

У зв'язку з цим були проведені теоретичні та експериментальні дослідження.

Обґрунтуємо це явище теоретично, розглядаючи аспект взаємодії (співударяння) двох повітряних потоків під деяким кутом  $\alpha$  (рис. 1) [1; 2]. Для оцінки ефекту такої взаємодії потоків скористаємось законом збереження імпульсу. При цьому приймемо припущення:

- течія є усталеною;
- струмини, які взаємодіють, є ізотермічними;
- напрям результуючої струмини визначається діагоналлю паралелограма, побудованого на

векторах кількості руху  $\overrightarrow{m_1 V_1}$  і  $\overrightarrow{m_2 V_2}$ .

За законом збереження імпульсу:

$$\overrightarrow{m_1 V_1} + \overrightarrow{m_2 V_2} = \overrightarrow{m_p V_p} . \quad (1)$$

Виконуючи почленне ділення на час  $t$  і густину  $\rho$  та використовуючи теорему косинусів, переходимо до скалярних величин:

$$(L_p \cdot V_p)^2 = (L_1 \cdot V_1)^2 + (L_2 \cdot V_2)^2 - 2 \cdot (L_1 \cdot V_1) \cdot (L_2 \cdot V_2) \cdot \cos(180^\circ - \alpha). \quad (2)$$

З врахуванням  $L_p = L_1 + L_2$  знаходимо результуючу початкову швидкість  $V_p$ :

$$V_p = \frac{\sqrt{(L_1 \cdot V_1)^2 + (L_2 \cdot V_2)^2 + 2 \cdot (L_1 \cdot V_1) \cdot (L_2 \cdot V_2) \cos \alpha}}{L_1 + L_2}, \quad (3)$$

де  $L_1, L_2$  і  $V_1, V_2$  – відповідно витрата і середня швидкість повітряних струмин, що витікають, до їх взаємодії, а  $V_p$  – швидкість результуючого повітряного потоку після співударяння струмин.

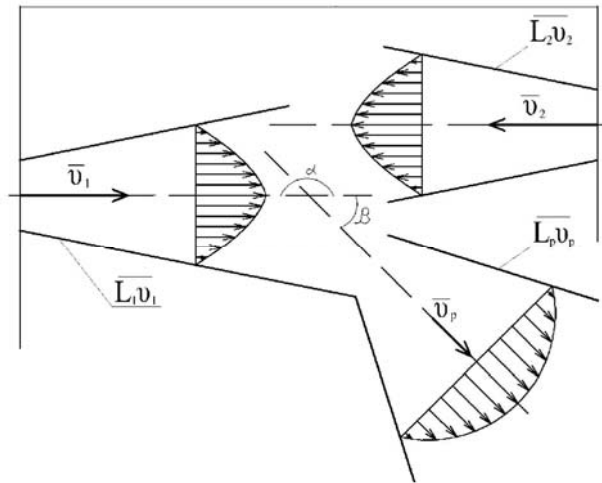


Рис. 1. Схема співударення зустрічних неспіввісних струмин

Очевидним є факт, що напрям осі результуючого повітряного потоку внаслідок взаємодії струмин змінюється, відхиляючись на кут  $\beta$ , як показано на рис. 1. Визначаючи цей напрям, необхідно обчислити кут  $\beta$ . Для цього потрібно скористатися геометричною інтерпретацією, зокрема теоремою синусів:

$$\frac{|L_p \cdot V_p|}{\sin(180 - \alpha)} = \frac{|L_2 \cdot V_2|}{\sin \beta} \quad (4)$$

При цьому слід враховувати очевидні обмеження:  $\alpha \neq 0^\circ$  та  $\alpha \neq 180^\circ$ , бо в іншому випадку знаменники в (4) перетворюються на нуль. Тобто формула (4) має вказані межі застосування.

Із врахуванням (3) отримаємо

$$\sin \beta = \sin \alpha \frac{L_2 \cdot V_2}{\sqrt{(L_1 \cdot V_1)^2 + (L_2 \cdot V_2)^2 + 2 \cdot (L_1 \cdot V_1) \cdot (L_2 \cdot V_2) \cos \alpha}} \quad (5)$$

На підставі формули (5) необхідно відзначити:

– турбулізація повітряного потоку буде найефективнішою за  $L_1 V_1 = L_2 V_2$  і  $\alpha = 90^\circ$ , в цьому частковому випадку напрям осі результуючої струмини  $\beta = 45^\circ$ ;

– кут її відхилення залежить від трьох чинників: імпульсів струмин, що взаємодіють, і кута їх співударення, тобто

$$\sin \beta = f(\alpha; (L_1 V_1); (L_2 V_2)); \quad (6)$$

– враховуючи пропорційний зв'язок величин  $L$  і  $V$ , можна записати

$$\sin \beta = f(\alpha; V_1^2; V_2^2); \quad (7)$$

– цікаво звернути увагу на частковий випадок за межами застосування залежності (4), а саме:  $\alpha = 0^\circ$  та  $\alpha = 180^\circ$ . Зокрема, за  $\alpha = 0^\circ$  є очевидним, що отримаємо  $\beta = 0^\circ$ , а за  $\alpha = 180^\circ$  відповідно  $\beta = 0^\circ$  або  $\beta = 180^\circ$ , залежно від числових величин швидкостей взаємодіючих повітряних потоків  $V_1$  і  $V_2$ .

### Матриця планування експерименту

| № | $x_1$ | $x_2$ | $x_3$ | $y_i$ |
|---|-------|-------|-------|-------|
| 1 | +     | +     | +     | $y_1$ |
| 2 | -     | +     | +     | $y_2$ |
| 3 | +     | -     | +     | $y_3$ |
| 4 | -     | -     | +     | $y_4$ |
| 5 | +     | +     | -     | $y_5$ |
| 6 | -     | +     | -     | $y_6$ |
| 7 | +     | -     | -     | $y_7$ |
| 8 | -     | -     | -     | $y_8$ |

Експериментальні дослідження були проведені відповідно до методики випробувань систем повітророзподілу [3; 4] за матрицею планування повного трифакторного експерименту, наведеною в таблиці. Як вхідні фактори  $x_1$ ,  $x_2$ ,  $x_3$  вибрано величини  $\alpha$ ,  $V_1$ ,  $V_2$ , а як функції відгуку  $y_i$  – результуючу швидкість  $V_p$  (3) та  $\sin \beta$  (5).

Аналізуючи формулу (7), констатуємо, що можна досягти бажаного ступеня турбулізації і напряму руху результуючої струмини шляхом зміни кута взаємодії повітряних потоків та їх швидкостей. В теоретичних розрахунках та експериментальних дослідженнях розглядалися швидкості  $V_1 = 1-3$  м/с,  $V_2 = 1-3$  м/с,  $V_p \leq 5$  м/с, і кут співударання струмин  $\alpha = 0^\circ-90^\circ$ .

Поля швидкостей припливних струмин в точках, що фіксувались координатником, вимірювались термоелектроанемометром testo – 405 ( $0 \div 5$  м/с).

Вимірювання проводились циклами не менш ніж двічі, а за розбіжності результатів понад 10 % проводились втретє з дотриманням рандомізації в часі. Крім того, вимірювання швидкості в кожній точці проводились протягом не менше як 120 с з дискретним (через 10 с) записом показів і подальшим їх усередненням. Витрата припливних струмин вимірювалась у припливному повітропроводі пневмометричною трубкою Піто-Прандтля ( $V > 5$  м/с).

Для прикладу на рис. 2 показано часткові результати експериментальних досліджень, де вказані поля швидкостей за взаємодії двох повітряних потоків за кута їх співударання  $\alpha = 45^\circ$ . Варто зауважити, що для зручності читання рис. 2 вертикальне та горизонтальне мірила вибрані різними, тому зображення кута  $\beta$  містить спотворення.

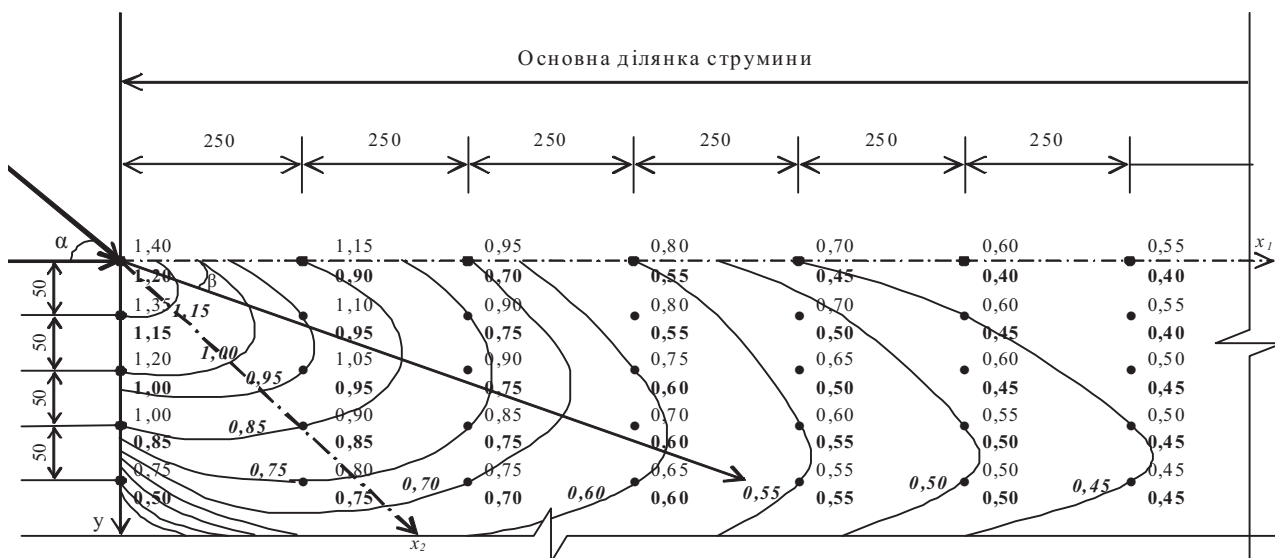


Рис. 2. Поля швидкостей припливних струмин (цифри вгорі звичайним шрифтом – це швидкості під час витікання лише одного повітряного потоку  $L_1$ , цифри внизу **виділені курсивом** – це швидкості в результуючій припливній струмині  $L_p$ )

Отримані ізотопи визначають напрям розвитку результуючого повітряного потоку.

Результати експериментальних досліджень свідчать:

– в кількісному відношенні вплив ефекту співударання на ступінь турбулізації є істотним; для прикладу (рис. 2), за збільшення витрати повітря приблизно вдвічі швидкості в результуючому потоці зменшуються приблизно на 20 %;

– в певній області на основній ділянці струмини напрям осі результуючої струмини наближається до напряму потоку з більшою величиною імпульсу, а розрахункові формули (3) і (5) справедливі лише для цієї області на основній ділянці струмини;

– кут відхилення напряму осі результуючої струмини становить  $\beta \approx 15^\circ$ , а визначений за формулою (5) –  $\beta = 15^\circ$ ;

– експериментальні і теоретичні результати стосовно початкової швидкості повітря в результуючій припливній струмині підтверджують правильність припущень та відповідність теорії експерименту (відносна похибка  $\varepsilon = 5\%$ ).

Отже, отримані розрахункові залежності (3) і (5) дають змогу вибирати необхідні параметри повітряних потоків за їх взаємодії, визначати характеристики результуючої припливної струмини, а відтак проводити розрахунок повітророзподілу в приміщенні.

1. *Абрамович Г.Н. Турбулентное смешение газовых струй. – М.: Наука, 1974. – 272 с.*
2. *Талиев В.Н. Аэродинамика вентиляции. – М.: Стройиздат, 1978. – 328 с.*
3. *Гримитлин М.И., Тимофеев О.Н., Эльтерман Р.М. и др. Вентиляция и отопление цехов машиностроительных заводов. – М.: Машиностроение, 1978. – 272 с.*
4. *Адлер Ю.П., Маркова Е.В., Грановский Ю.В. Планирование эксперимента при поиске оптимальных условий. – М.: Наука, 1976. – 279 с.*

УДК 624.012:620.193

Желих В.М.

Національний університет “Львівська політехніка”,  
кафедра теплогазопостачання та вентиляції

## ЕНЕРГОЕФЕКТИВНІ ТЕХНОЛОГІЇ ОПАЛЕННЯ СІЛЬСЬКОГОСПОДАРСЬКИХ ПРИМІЩЕНЬ

© Желих В.М., 2010

**Здійснено дослідження теплового режиму, створеного мікрокліматичним модулем з інфрачервоним випромінювачем для систем кліматизації тваринницьких комплексів, і зокрема, пташників.**

**Research of the thermal mode, created the microclimate module with an infra-red emitter for the thermal comfort systems of agricultural complexes on the example of poultry house is resulted in this article.**

**Вступ.** Щорічне споживання енергії в агропромисловому комплексі України становить близько 12 млн. тонн умовного палива, або близько 4 % від загального об'єму енергоспоживання в Україні. З цієї кількості спожитої енергії світлі нафтопродукти становлять 71 %; природний газ – 12 %; електроенергія – 9,2 %; вугілля – 1,8 %; тепла – 0,8 %; дрова – 0,4 %; інші види енергії – 3,9 % [ 1 ]. Приблизно 1/3 всієї енергії витрачається для підтримання життєдіяльності сільськогосподарських комплексів, що є доволі значною часткою. Шляхи зменшення цих енергозатрат полягають у впровадженні нових технологій будівництва та запровадженні енергоощадних систем опалення.

Підтримання теплового стану в приміщеннях пташників, як правило, ґрунтується на повітряному опаленні [2, 3, 4]. Такі системи компенсують тепловтрати будівлі, але нагріте повітря створює конвективні течії, що є причиною нерівномірного розподілу температури в приміщенні. Птиця є дуже чутливою до зміни мікроклімату. Зниження температури повітря пташника на кожен градус порівняно з необхідною викликає збільшення споживання корму на 2...3 %. Крім температури й вологості, на фізіологічний стан птиці великий вплив має також швидкість руху повітря в приміщенні. Потік повітря повинен бути рівномірним, щоб у приміщенні не було протягів та зон із надмірними швидкостями повітря. Вирішення цих проблем є доволі складним, особливо під час використання схем із великим повітрообміном.